

УДК 534.113

ПРИБЛИЖЕННАЯ ТЕОРИЯ РАСПРОСТРАНЕНИЯ ЗВУКА В ОГРАНИЧЕННОЙ ВЯЗКОУПРУГОЙ СРЕДЕ С ЦИЛИНДРИЧЕСКИМИ КАНАЛАМИ

© 2022 г. Л. И. Казаков*

*e-mail: lev-kazakov@rambler.ru

Поступила в редакцию 15.04.2022 г.

После доработки 20.06.2022 г.

Принята к публикации 20.06.2022 г.

Выполнен расчет акустических характеристик цилиндрической вязкоупругой трубки конечной длины с радиально закрепленной внешней поверхностью, замещающей шестигранную элементарную ячейку отрезка микронеоднородной среды с цилиндрическими каналами. Применены принцип наименьшего действия и гипотеза плоских сечений. Найдено дисперсионное уравнение для продольных звуковых волн в трубке, совпадающее с приближениями точного дисперсионного уравнения и имеющее типичную для микронеоднородных резонансных сред форму. Из подходящей аппроксимации результатов известных измерений приведенной входной проводимости “полубесконечных” образцов найдена частотная зависимость комплексного модуля сдвига применявшейся резины.

Ключевые слова: принцип наименьшего действия, гипотеза плоских сечений, вязкоупругая среда, цилиндрические каналы, торцевые пластинки, дисперсионное уравнение, эффект нераспространения

DOI: 10.31857/S0032823522050113

1. Введение. Акустические свойства искусственной упругой среды с цилиндрическими каналами, центры которых совпадают с узлами правильной треугольной сетки, можно найти, решая осесимметричную задачу о распространении упругих волн вдоль трубки с радиально-закрепленной внешней цилиндрической поверхностью, которая приближенно заменяет шестигранную поверхность, окружающую канал.

Идея создания и первый приближенный расчет такой среды принадлежат Г.Д. Малюжину. В работе В.В. Тютюкина [1] дана точная теория распространения осесимметричных упругих волн в безграничном волноводе типа “трубка”. Дальнейшие исследования этих вопросов изложены в работе А.Е. Вовк [2]. Получено точное решение для частного случая “трубки” конечного размера в работе [3].

Теория Г.Д. Малюжинца основана на применении принципа наименьшего действия Гамильтона–Остроградского и гипотезы плоских сечений и в этом отношении подобна расчету А. Лява ([4], § 278, с. 446) для продольных волн в стержне, учитывающему поправку Рэлея ([5], § 157, с. 273) на инерцию поперечного движения.

2. Вывод уравнения движения. Изложенная ниже приближенная теория также базируется на принципе наименьшего действия и гипотезе плоских сечений, которая состоит в предположении, что осевые смещения частиц U_z во времени t не зависят от радиуса r , т.е. любое поперечное сечение трубки остается при движении плоским:

$$\frac{\partial U_z}{\partial r} = 0, \quad U_z = f(z, t) \quad (2.1)$$

Радиальные смещения зададим, следуя Г.Д. Малюжинцу, в виде

$$U_r = A \frac{r_1^2 - r^2}{2r} f'(z, t), \quad (2.2)$$

где $A = \text{const}$, значение которой определим позже, r_1 – внешний радиус трубки, штрих над $f(z, t)$ означает производную по координате z .

Отличными от нуля компонентами тензоров деформаций и напряжений для осесимметричного случая будут ([6], с. 13, 23):

$$U_{zz} = \frac{\partial U_z}{\partial z} = f'(z, t), \quad U_{rr} = \frac{\partial U_r}{\partial r}, \quad U_{\phi\phi} = \frac{U_r}{r}, \quad U_{rz} = \frac{1}{2} \frac{\partial U_r}{\partial z} \quad (2.3)$$

$$\sigma_{rz} = 2\mu U_{rz} = \mu A \frac{r_1^2 - r^2}{2r} f''(z, t)$$

$$\sigma_{\alpha\alpha} = \lambda \text{div } \vec{U} + 2\mu U_{\alpha\alpha}, \quad \alpha\alpha = rr, \phi\phi, zz, \quad (2.4)$$

где

$$\text{div } \vec{U} = \frac{1}{r} \frac{\partial}{\partial r} (r U_r) + \frac{\partial U_z}{\partial z} = (1 - A) f'(z, t),$$

λ – первый коэффициент Ламе, μ – модуль сдвига материала трубки.

Заданная форма смещений (2.1), (2.2) удовлетворяет требуемым граничным условиям на внешней поверхности трубки

$$U_r(z, r_1) = 0, \quad \sigma_{rz}(z, r_1) = 0 \quad (2.5)$$

На свободной внутренней поверхности трубки радиуса r_0 должны выполняться условия

$$\sigma_{rz}(z, r_0) = 0 \quad (2.6)$$

$$\sigma_{rr}(z, r_0) = \left[\lambda(1 - A) - \mu A \left(1 + \frac{1}{\varepsilon} \right) \right] f'(z, t) = 0, \quad (2.7)$$

где $\varepsilon = r_0^2 / r_1^2$ – коэффициент перфорации. Если, следуя Г.Д. Малюжинцу, положить

$$A = A_0 = \left(1 + \mu \frac{1 + \varepsilon}{\lambda \varepsilon} \right)^{-1}, \quad (2.8)$$

то условие (2.7) выполнится точно. Лучше, однако, выбрать значение A из других соображений, приведенных ниже. При этом условия (2.6) и (2.7) будут выполняться лишь приближенно при соответствующих ограничениях, что станет ясно из дальнейшего.

Найдем кинетическую T и упругую E энергии отрезка трубки длиной h по формулам:

$$T(t) = \pi \rho \int_{r_0}^{r_1} \int_0^h \left[\left(\frac{\partial U_r}{\partial t} \right)^2 + \left(\frac{\partial U_z}{\partial t} \right)^2 \right] r dr dz, \quad E(t) = 2\pi \int_{r_0}^{r_1} \int_0^h \varepsilon_1(r, z, t) r dr dz,$$

где ρ – плотность материала трубки, $\varepsilon_1(r, z, t)$ – упругая энергия единицы объема трубки, имеющая вид ([6], с. 21)

$$\begin{aligned} \varepsilon_1(r, z, t) &= \frac{1}{2} (\sigma_{rr} U_{rr} + \sigma_{\phi\phi} U_{\phi\phi} + \sigma_{zz} U_{zz} + 2\sigma_{rz} U_{rz}) = \\ &= \frac{\lambda}{2} (\text{div } \vec{U})^2 + \mu (U_{rr}^2 + U_{\phi\phi}^2 + U_{zz}^2) + 2\mu U_{rz}^2 \end{aligned}$$

Вычисления дадут:

$$E(t) = \frac{\pi\mu r_1^2}{2} \int_0^h \left\{ D(A, \varepsilon) [f'(z, t)]^2 + \xi^2 A^2 r_0^2 b(\varepsilon) [f''(z, t)]^2 \right\} dz \quad (2.9)$$

$$T(t) = \frac{\pi\rho r_1^2}{2} \int_0^h \left\{ A^2 r_0^2 b(\varepsilon) \left[\frac{\partial f'(z, t)}{\partial t} \right]^2 + (1 - \varepsilon) \left[\frac{\partial f(z, t)}{\partial t} \right]^2 \right\} dz, \quad (2.10)$$

где

$$D(A, \varepsilon) = \left[\frac{\lambda}{\mu} (1 - A)^2 + 2 + A^2 \frac{1 + \varepsilon}{\varepsilon} \right] (1 - \varepsilon), \quad b(\varepsilon) = \frac{4\varepsilon - 2 \ln \varepsilon - 3 - \varepsilon^2}{8\varepsilon}$$

Применим к решению задачи, которая состоит теперь в отыскании функции $f(z, t)$, принцип наименьшего действия Гамильтона–Остроградского

$$\delta \int_{t_1}^{t_2} (T - E + W) dt = \int_{t_1}^{t_2} (\delta T - \delta E + \delta W) dt = 0, \quad (2.11)$$

где W – работа внешних сил, действующих на торцах отрезка трубки; δ – символ вариации величины при малых произвольных изохронных вариациях вектора смещения $\delta \vec{U}$; t_1, t_2 – произвольные моменты времени. Подставив выражения (2.9) и (2.10) в формулу (2.11) и после варьирования, изменения порядка интегрирования и интегрирования по частям с учетом условия $\delta \vec{U}(t_1) = \delta \vec{U}(t_2) = 0$, получим

$$\begin{aligned} & \int_{t_1}^{t_2} \int_0^h \left(f^{IV} - \frac{\rho}{\mu} \frac{\partial^2 f''}{\partial t^2} - \frac{D(A, \varepsilon)}{A^2 r_0^2 b(\varepsilon)} f'' + \frac{\rho(1 - \varepsilon)}{\mu A^2 r_0^2 b(\varepsilon)} \frac{\partial^2 f}{\partial t^2} \right) \delta f dz dt - \\ & - \int_{t_1}^{t_2} \left\{ \left[\left(f''' - \frac{D(A, \varepsilon)}{A^2 r_0^2 b(\varepsilon)} f' - \frac{\rho}{\mu} \frac{\partial^2 f'}{\partial t^2} \right) \delta f - f'' \delta f' \right]_0^h + \frac{\delta W}{\pi \mu r_1^2 A^2 r_0^2 b(\varepsilon)} \right\} dt = 0 \end{aligned} \quad (2.12)$$

Вариация работы внешних сил δW есть линейная форма от вариаций $\delta f = \delta U_z$ и $\delta f' \sim \delta U_r$, взятых при $z = 0$ и $z = h$. В силу произвольности всех вариаций в выражении (2.12) каждый интеграл в отдельности должен обращаться в нуль. Тогда первый интеграл дает уравнение движения

$$f^{IV} - \frac{\rho}{\mu} \frac{\partial^2 f''}{\partial t^2} - \frac{D(A, \varepsilon)}{A^2 r_0^2 b(\varepsilon)} f'' + \frac{\rho(1 - \varepsilon)}{\mu A^2 r_0^2 b(\varepsilon)} \frac{\partial^2 f}{\partial t^2} = 0, \quad (2.13)$$

а второй содержит два динамических граничных условия, которые зависят от характера осесимметричных напряжений, действующих на торцевых сечениях трубки, и от способа закрепления этих сечений.

Будем считать, что к торцевым сечениям трубки примыкают тонкие жесткие пластинки. Через них на трубку можно воздействовать извне только давлениями $P(0, t)$ и $P(h, t)$, работа которых запишется в виде

$$W(t) = \pi r_1^2 [P(0, t)f(0, t) - P(h, t)f(h, t)],$$

откуда

$$\delta W = -\pi r_1^2 [P \delta f]_0^h \quad (2.14)$$

Рассмотрим два крайних варианта крепления таких пластинок на торцах трубки: без трения (“скользящая” пластинка) и жесткое крепление, или сцепление. В первом

случае обращаются в нуль касательные напряжения σ_{rz} между пластинкой и трубкой, т.е. в соответствии с формулой (2.3) должно выполняться граничное условие

$$f''(z_0, t) = 0, \quad z_0 = 0, h \quad (2.15)$$

В случае сцепления запрещены радиальные смещения в торцевом сечении трубки, что на основании формулы (2.2) дает граничное условие

$$f'(z_0, t) = 0 \quad (2.16)$$

Соответствующие динамические граничные условия найдем из выражения (2.12) с учетом (2.14):

для “скользящей” пластинки:

$$f'''(z_0, t) - \frac{D(A, \varepsilon)}{A^2 r_0^2 b(\varepsilon)} f'(z_0, t) - \frac{\rho}{\mu} \frac{\partial^2 f'(z_0, t)}{\partial t^2} = \frac{P(z_0, t)}{\mu A^2 r_0^2 b(\varepsilon)} \quad (2.17)$$

для случая сцепления:

$$f'''(z_0, t) = \frac{P(z_0, t)}{\mu A^2 r_0^2 b(\varepsilon)} \quad (2.18)$$

При гармонических колебаниях, когда временная зависимость величин задана сокращаемым множителем $e^{-i\omega t}$, где i – мнимая единица, ω – круговая частота, уравнение движения (2.13) и динамические граничные условия (2.17), (2.18) для комплексных амплитуд запишем в виде

$$f^{IV} + (k^2 - \kappa^2) f'' - k^2 \kappa^2 f = 0$$

$$f'''(z_0) + (k^2 - \kappa^2) f'(z_0) = \frac{k^2 \kappa^2 P(z_0)}{\omega^2 \rho (1 - \varepsilon)} \quad (2.19)$$

$$f'''(z_0) = \frac{k^2 \kappa^2 P(z_0)}{\omega^2 \rho (1 - \varepsilon)},$$

где

$$(k^2 - \kappa^2) = \frac{\omega^2 \rho}{\mu} - \frac{D(A, \varepsilon)}{A^2 r_0^2 b(\varepsilon)} \quad (2.20)$$

$$k^2 \kappa^2 = \frac{\omega^2 \rho (1 - \varepsilon)}{\mu A^2 r_0^2 b(\varepsilon)} \quad (2.21)$$

Введя дифференциальный оператор $\nabla \equiv d/dz$, уравнение (2.19) можно записать в виде

$$\left[\nabla^4 + (k^2 - \kappa^2) \nabla^2 - k^2 \kappa^2 \right] f = 0,$$

или

$$(\nabla^2 + k^2)(\nabla^2 - \kappa^2) f = 0$$

Общее решение этого уравнения может быть представлено суммой решений волновых уравнений

$$(\nabla^2 + k^2) f = 0, \quad (\nabla^2 - \kappa^2) f = 0,$$

из которых первое определяет распространяющуюся волну с волновым числом k , а второе – неоднородную волну с волновым числом κ . Таким образом решение уравнения (2.19) для отрезка трубки следует искать в виде

$$f(z) = A_1 \operatorname{sh} \kappa z + A_2 \operatorname{ch} \kappa z + A_3 \sin kz + A_4 \cos kz, \quad (2.22)$$

где A_i произвольные постоянные, определяемые из граничных условий на торцах, а k и κ могут быть найдены из уравнений (2.20), (2.21).

3. Дисперсионное уравнение. Пока остается неопределенной постоянная A . Ее можно связать с волновым числом k следующим образом. Возьмем точное уравнение в цилиндрических координатах для аксиальной составляющей смещения при осесимметричных движениях ([6], с. 126, (22.6))

$$\rho \frac{\partial^2 U_z}{\partial t^2} = (\lambda + 2\mu) \frac{\partial^2 U_z}{\partial z^2} + \frac{\lambda}{r} \frac{\partial}{\partial r} \left(r \frac{\partial U_r}{\partial z} \right) + \frac{\mu}{r} \frac{\partial}{\partial r} \left[r \left(\frac{\partial U_r}{\partial z} + \frac{\partial U_z}{\partial r} \right) \right]$$

Усредним его по площади сечения трубки $\pi(r_1^2 - r_0^2)$ и, используя граничные условия (2.5) и (2.6), найдем:

$$\rho \frac{\partial^2 \bar{U}_z}{\partial t^2} = (\lambda + 2\mu) \frac{\partial^2 \bar{U}_z}{\partial z^2} - \frac{2\lambda r_0}{r_1^2 - r_0^2} \frac{\partial U_r(z, r_0)}{\partial z},$$

где \bar{U}_z – среднее по сечению трубки аксиальное смещение. Подставив в это точное уравнение заданную форму движения (2.1), (2.2), получим для гармонических колебаний волновое уравнение

$$f''' + \frac{\omega^2 \rho}{\lambda + 2\mu - \lambda A} f = 0,$$

волновое число которого естественно отождествить с k :

$$k^2 = \frac{\omega^2 \rho}{\lambda + 2\mu - \lambda A} \quad (3.1)$$

Исключив из уравнений (2.20), (2.21), (3.1) κ и A , найдем

$$\frac{1}{(n^2 - 1) \left(1 - \frac{1}{2\alpha} n^2 \right)} \left[n^2 - \frac{1 + (2\alpha - 1)\varepsilon}{1 + \left(3 - \frac{2}{\alpha} \right) \varepsilon} \right] = \Omega^2, \quad (3.2)$$

где обозначено $n = k/k_l$ – показатель преломления перфорированной каналами среды относительно сплошной; $k_l = \omega \sqrt{\rho / (\lambda + 2\mu)}$ – волновое число для продольных волн в сплошной среде;

$$\alpha = \frac{\lambda + 2\mu}{2\mu} \quad (3.3)$$

$$\Omega^2 = \frac{2\alpha \varepsilon b(\varepsilon)}{a(\varepsilon)} (k_l r_1)^2 = \frac{\omega^2 \rho r_1^2 \varepsilon b(\varepsilon)}{\mu a(\varepsilon)} \quad (3.4)$$

$$a(\varepsilon) = \frac{1 - \varepsilon}{\varepsilon} \left[1 + \left(3 - \frac{2}{\alpha} \right) \varepsilon \right] \quad (3.5)$$

Постоянную A найдем из формул (3.1)–(3.3):

$$A = \frac{\alpha}{\alpha - 1} \left(1 - \frac{1}{n^2} \right) \quad (3.6)$$

Из формул (2.8), (3.6) и (3.2) при $\Omega \rightarrow 0$, получим:

$$A \rightarrow A_0,$$

что означает выполнение граничного условия (2.7) в квазистатическом случае.

Выражение (3.2) является приближенным дисперсионным уравнением для определения $k = nk_l$. Тогда получаем, что при $\Omega \rightarrow 0$

$$n^2(0) = \frac{2\epsilon\alpha + 1 - \epsilon}{1 + 3\epsilon - 2\epsilon/\alpha}$$

и

$$n^2(0) \xrightarrow{\epsilon \rightarrow 0} 1, \quad \text{т.е.} \quad k(0) \xrightarrow{\epsilon \rightarrow 0} k_l$$

$$n^2(0) \xrightarrow{\epsilon \rightarrow 1} \frac{\alpha^2}{2\alpha - 1}, \quad \text{т.е.} \quad k^2(0) \xrightarrow{\epsilon \rightarrow 1} \frac{\omega^2 \rho(\lambda + 2\mu)}{4\mu(\lambda + \mu)},$$

как и должно быть для низкочастотных продольных волн, распространяющихся, соответственно этим предельным случаям, в сплошной среде ($\epsilon = 0$) и в тонкой пластине ($\epsilon \rightarrow 1$). Случаю $\Omega \rightarrow \infty$ соответствуют два варианта: $n \rightarrow 1$, т.е. $k(\infty) \rightarrow k_l$ – продольная волна в сплошной среде; $n \rightarrow \sqrt{2\alpha}$, или

$$k(\infty) \rightarrow \omega \sqrt{\frac{\rho}{\mu}} = k_t,$$

где k_t – волновое число для сдвиговых волн в сплошной среде.

Для вязкоупругих материалов (например, резин) модуль сдвига при гармонических колебаниях является комплексной функцией частоты:

$$\mu^*(\omega) = \mu(\omega)[1 - i\eta(\omega)], \quad (3.7)$$

где $\mu(\omega)$ – модуль сдвига, $\eta(\omega)$ – коэффициент сдвиговых потерь, величина которого обычно лежит в пределах $\eta(\omega) = 0.1 \dots 1.0$. Первый коэффициент Ламе λ на звуковых и ультразвуковых частотах можно считать вещественной постоянной, причем $\lambda \gg |\mu^*(\omega)|$. В связи с этим волновое число k_l , а также $a(\epsilon)$ (3.5) будем с малой ошибкой полагать вещественными. Для вязкоупругих материалов допустим, что

$$\left| \frac{n^{*2}}{2\alpha^*} \right| \ll 1 \quad (3.8)$$

Тогда дисперсионное уравнение (3.2) запишется в виде:

$$n^{*2} = \frac{\Omega_1^{*2} - \Omega^{*2}}{1 - \Omega^{*2}}; \quad \Omega_1^{*2} = \frac{1 + (2\alpha^* - 1)\epsilon}{1 + \left(3 - \frac{2}{\alpha^*}\right)\epsilon}, \quad (3.9)$$

где в согласии с (3.3), (3.4) и (3.7)

$$\alpha^* = \frac{\alpha}{1 - i\eta}, \quad |\alpha^*| \gg 1, \quad \Omega^{*2} = \frac{\Omega^2}{1 - i\eta} \quad (3.10)$$

Точное дисперсионное уравнение получено в работе [1]:

$$(1 - n^2) [n^2 \Phi(U) - \alpha] + (\alpha - n^2)^2 \Phi(V) = 0, \quad (3.11)$$

где

$$U = k_r r_1 \sqrt{2\alpha - n^2}, \quad V = k_r r_1 \sqrt{1 - n^2},$$

а функция $\Phi(x)$ выражается через функции Бесселя и Неймана:

$$\Phi(x) = \sqrt{\varepsilon x} \frac{J_1(x) N_0(\sqrt{\varepsilon x}) - N_1(x) J_0(\sqrt{\varepsilon x})}{J_1(x) N_1(\sqrt{\varepsilon x}) - N_1(x) J_1(\sqrt{\varepsilon x})} \quad (3.12)$$

Выражение (3.9) следует из (3.11) в качестве низкочастотного приближения при $|U|, |V| \ll 1$. Используя в (3.12) представления цилиндрических функций рядами при $|x| \ll 1$ ([8], с. 415, 428), получим

$$\Phi(x) = -\frac{2\varepsilon}{1 - \varepsilon} \frac{1 + \frac{x^2}{4}(1 + \ln \varepsilon - \varepsilon) + \dots}{1 - \frac{x^2}{8} \frac{1 + 2\varepsilon \ln \varepsilon - \varepsilon^2}{1 - \varepsilon} + \dots} = -\frac{2\varepsilon}{1 - \varepsilon} \left(1 - \frac{\varepsilon b(\varepsilon)}{1 - \varepsilon} x^2 + \dots \right) \quad (3.13)$$

Ограничившись только выписанными здесь членами в разложениях для функций $\Phi(U)$ и $\Phi(V)$ и подставив последние в уравнение (3.11), получим в точности формулу (3.9) [7]. При таком выводе она справедлива для вязкоупругих материалов, лишь когда

$$|k_r r_1 \sqrt{2\alpha^*}| = |k_r^* r_1| \ll 1,$$

или

$$|\Omega^*| \ll \sqrt{\frac{\varepsilon b(\varepsilon)}{a(\varepsilon)}} < 0.15$$

Фактически формула (3.9) была получена таким способом уже в работе [1] в качестве квазистатического приближения с рэлеевской поправкой.

В наиболее интересных случаях применения (для звукопоглощения), когда справедливы допущения: (3.8), $|n^*| \sim 1$, $k_r r_1 \leq 1$, $\sqrt{2\varepsilon/\alpha} \ll 1$, $\varepsilon \ll 0.25$, можно считать, что $|U| \gg 1$, $|V| \ll 1$. Используя в формуле (3.12) для $\Phi(U)$ асимптотические представления цилиндрических функций [8, с. 449], а для $\Phi(V)$ – приближение (3.13), найдем:

$$\Phi(U) \approx i k_r r_1 \sqrt{2\varepsilon \alpha} \quad (3.14)$$

$$\Phi(V) \approx -\frac{2\varepsilon}{1 - \varepsilon} \left(1 - \frac{(k_r r_1)^2 \varepsilon b(\varepsilon)}{1 - \varepsilon} (1 - n^2) \right) \quad (3.15)$$

Подставив (3.14), (3.15) в (3.11), при принятых допущениях снова придем к формуле (3.9) [7].

Учитывая (3.3)–(3.5), (3.10), представим зависимость (3.9) в виде

$$n^{*2} = (n' + in'')^2 = s^* = s' + is'' = 1 + \frac{2\varepsilon \alpha}{(1 + 3\varepsilon)(1 - \Omega^2 - i\eta)}, \quad (3.16)$$

откуда

$$s' = n'^2 - n''^2 = 1 + \frac{2\varepsilon \alpha}{1 + 3\varepsilon} \frac{1 - \Omega^2}{(1 - \Omega^2)^2 + \eta^2} \quad (3.17)$$

$$s'' = 2n'n'' = \frac{2\varepsilon\alpha}{1 + 3\varepsilon} \frac{\eta}{(1 - \Omega^2)^2 + \eta^2} \quad (3.18)$$

Величину s^* можно назвать приведенной комплексной сжимаемостью перфорированной каналами среды [1]. Формула (3.16) подобна выражению для квадрата комплексного показателя преломления в теории дисперсии и абсорбции электромагнитных волн в разреженной среде, содержащей осцилляторы одного сорта, т.е. имеет обычный лоренцевский вид ([9], с. 56, (32.27)), ([10], § 156, с. 556). При этом s^* является аналогом комплексной диэлектрической проницаемости такой среды, и поэтому s' и s'' должны быть связаны дисперсионными соотношениями Крамерса–Кронига ([11], § 82, с. 389, [12]).

На рис. 1 построены зависимости от $k_1\eta$ функций s' (3.17) и s'' (3.18) при $\alpha = 800$, $\eta = 1$, $\varepsilon = 0.05^2$. Точками показаны значения этих величин для нулевой квазипродольной волны, вычисленные по точной теории в работе [2]. Видно хорошее совпадение. При $s' < 0$ мнимая часть k'' волнового числа $k^* = k_1n^*$ превышает вещественную часть k' . Из формулы (3.17) следует, что это возможно лишь при

$$\frac{\varepsilon\alpha}{1 + 3\varepsilon} > \eta \quad (3.19)$$

в диапазоне частот, границы которого определяет соотношение

$$\Omega_{1,2}^2 = 1 + \frac{\varepsilon\alpha}{1 + 3\varepsilon} \pm \sqrt{\left(\frac{\varepsilon\alpha}{1 + 3\varepsilon}\right)^2 - \eta^2},$$

откуда видно, что при уменьшении η этот диапазон расширяется, но не может превысить разницы между частотой зарождения первой квазипродольной волны [2], соответствующей значению $\Omega^2 = \Omega_1^2 = 1 + \frac{2\varepsilon\alpha}{1 + 3\varepsilon}$, и собственной частотой канала при $\Omega = 1$.

Отношение k''/k' максимально в центре диапазона при $\Omega^2 = 1 + \frac{\varepsilon\alpha}{1 + 3\varepsilon}$ и составляет

$$(k''/k')_{\max} = \frac{\varepsilon\alpha}{(1 + 3\varepsilon)\eta}. \text{ Это явление, которое можно назвать эффектом нераспространения, для среды с цилиндрическими каналами описано впервые в работе [13]. Аналогичное явление известно в электродинамике сплошных сред ([11], § 84, с. 399).}$$

Рисунок 2 демонстрирует степень совпадения расчетных приближенных значений $n'(k_1\eta)$ и $n''(k_1\eta)$ с точными из работы [2] при $\alpha = 125$, $\eta = 0.5$, $\varepsilon = 0.05^2$. Условие (3.19) здесь не выполняется и поэтому везде $n' > n''$, т.е. эффект нераспространения отсутствует.

Из формулы (3.16) с учетом (3.3)–(3.5), (3.10) найдем выражение для волнового числа:

$$k^{*2} = k_i^2 + \frac{1}{1 - \frac{\omega^2\mu(\omega_p)}{\omega_p^2\mu(\omega)} - i\eta} \cdot \frac{\omega^2\rho\varepsilon}{(1 + 3\varepsilon)\mu(\omega)}, \quad (3.20)$$

где $\omega_p = \frac{2}{R_{\text{eq}}} \sqrt{\mu(\omega_p)/\rho}$ – собственная круговая частота канала, $R_{\text{eq}} = 2r_0\sqrt{b(\varepsilon)/a(\varepsilon)}$.

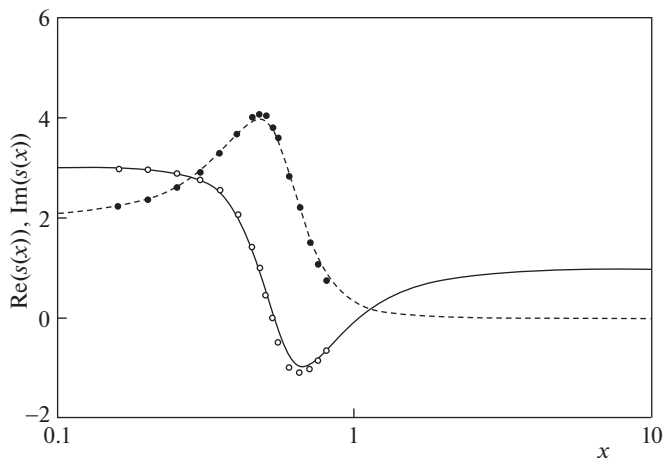


Рис. 1. Компоненты функции $s^*(x)$ (3.16), $x = k_l \eta$ при $\alpha = 800$, $\eta = 1.0$, $\varepsilon = 0.05^2$. $\text{Re}(s^*(x))$: \circ – данные [2], — по формуле (3.17); $\text{Im}(s^*(x))$: \bullet – данные [2], ---- по формуле (3.18).

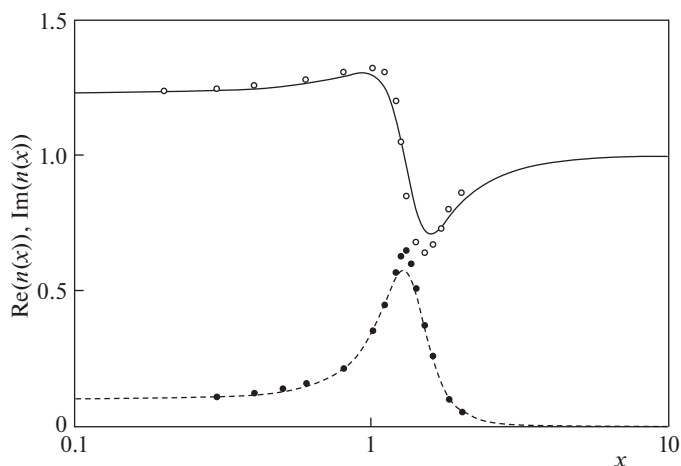


Рис. 2. Компоненты показателя преломления $n^*(x)$ при $\alpha = 125$, $\eta = 0.5$, $\varepsilon = 0.05^2$: $\text{Re}(n^*(x))$: \circ – из работы [2], — по формуле (3.16); $\text{Im}(n^*(x))$: \bullet – из работы [2], ---- по формуле (3.16).

При $\sqrt{\varepsilon} \leq 0.3$ достаточно хороша приближенная формула $\sqrt{b(\varepsilon)/a(\varepsilon)} = \frac{1}{2} \sqrt{\ln \frac{1}{\varepsilon} - 1.5}$. Для заданного значения η_1 собственная частота канала минимальна при $\varepsilon = \varepsilon_0 = 0.11$ и слабо зависит от r_0 в широком диапазоне относительно больших значений ε , возрастаая до бесконечности как при $\varepsilon \rightarrow 0$, так и при $\varepsilon \rightarrow 1$. Такое же значение ω_p получено в теории Г.Д. Малюжинца. Значение параметра $k_l r_0$ на резонансе: $(k_l r_0)_p = \sqrt{a(\varepsilon)/b(\varepsilon)}$.

Эффективные комплексные параметры дисперсных микронеоднородных сред – волновое число $\tilde{\kappa}$, сжимаемость \tilde{k} , плотность $\tilde{\rho}$ – связаны соотношением $\tilde{\kappa}^2 = \omega^2 \tilde{k} \tilde{\rho}$. Некоторые такие среды обладают резонансными свойствами, например, вода с газовыми пузырьками ([14], с. 379), резина с полостями, резина с твердыми включениями [15, 16]. В двух первых случаях за резонансные свойства отвечает комплексная сжимаемость \tilde{k} , тогда как $\tilde{\rho}$ – величина вещественная. В последнем случае наоборот: сжимаемость \tilde{k} вещественна (при учете только вязких потерь), а резонансные свойства среды обусловлены ее комплексной плотностью $\tilde{\rho}$. Для таких сред, если они малоконцентрированные и монодисперсные, квадраты волновых чисел $\tilde{\kappa}^2$ выражаются такими же формулами, как (3.20).

Для вязкоупругих материалов согласно (3.6) и (3.10)

$$A^* = 1 - n^{*-2} \tag{3.21}$$

Поэтому при заданной форме движений (2.1), (2.2) для распространяющейся волны ($\partial/\partial z \rightarrow ik^*$), используя зависимость (3.16), найдем:

$$\left| \frac{U_r(z, r_0)}{U_z(z)} \right| = \left| \frac{\sqrt{\alpha} \frac{1-\varepsilon}{2} \sqrt{a(\varepsilon)}}{1+3\varepsilon} \frac{\Omega}{\sqrt{b(\varepsilon)} \sqrt{(1-\Omega^2-i\eta) \left(1 + \frac{2\varepsilon\alpha}{1+3\varepsilon} - \Omega^2 - i\eta\right)}} \right|$$

Отсюда видно, что относительное радиальное движение стенок канала имеет два резонанса: на собственной частоте канала при $\Omega^2 = 1$ и на частоте зарождения первой квазипродольной волны при $\Omega^2 = 1 + 2\varepsilon\alpha/(1+3\varepsilon)$. На низких и высоких частотах радиальное движение стенок канала ослабевает.

Из формул (2.3), (2.4), (3.16), (3.21) для распространяющихся волн получим:

$$\left| \frac{\sigma_{rz}(z, r_0)}{\sigma_{zz}(z)} \right| = \frac{(1-\varepsilon)k_r r_0}{2(1+3\varepsilon)} \left| \frac{n^*(1-i\eta)}{1-\Omega^2-i\eta} \right|$$

При $|n^*| \sim 1$, $\eta \sim 1$ это отношение всегда много меньше единицы, в том числе и на резонансе канала, что позволяет считать граничное условие (2.6) выполняющимся приближенно на всех частотах.

Волновое число неоднородных волн κ^* при известных k^* (3.20) и A^* (3.21) следует из уравнения (2.21):

$$\kappa^{*2} = \frac{1+3\varepsilon}{\varepsilon} \frac{(1-\Omega^2-i\eta)^2}{\Omega^2(1-i\eta)} k^{*2}$$

При $\varepsilon \ll 1$, $\eta \sim 1$ на всех частотах $|\kappa^*| \gg |k^*|$, откуда следует, что область неоднородных волн вблизи торцов трубки весьма мала в сравнении с длиной продольной волны.

Входная акустическая проводимость трубки с тонкой жесткой пластинкой на торце согласно (2.1) имеет вид:

$$Y(0) = \frac{\dot{U}_z(0)}{P(0)} = \frac{-i\omega f(0)}{P(0)},$$

где $P(0)$ – звуковое давление на торец. Используя граничные условия (2.15)–(2.19) для определения (2.22), найдем входные проводимости полубесконечных ($h \rightarrow \infty$) трубок:

при пластинке без трения

$$Y(0) = \frac{k^*}{\omega\rho(1-\varepsilon)} \frac{1 - \frac{ik^*}{\kappa^*}}{1 - \frac{ik^*}{\kappa^*} - \frac{k^{*2}}{\kappa^{*2}}} \approx \frac{k^*}{\omega\rho(1-\varepsilon)}; \quad (3.22)$$

при пластинке, приклеенной к торцу,

$$Y(0) = \frac{k^*}{\omega\rho(1-\varepsilon)} \frac{1}{1 - \frac{ik^*}{\kappa^*}} \quad (3.23)$$

Здесь второй множитель в правой части отражает влияние радиального закрепления входной поверхности трубки. В первом же случае ролью свободного от касательных напряжений торца чаще всего можно пренебречь.

В работе [17] приведены результаты измерений на установке “Импульсная труба” акустических характеристик образцов разной длины из резины с цилиндрическими каналами. Предполагалось, что длина каждого образца обеспечивает выполнение условия $n''k_l h > 2$, позволяющего считать образец полубесконечным. Каналы в образцах несквозные – “со стороны основания оставляется тонкая диафрагма (толщина ее около 0.5 мм)” [17]. Для каждого образца измеряли входную проводимость, приведенную к проводимости сплошной среды с волновым сопротивлением $\rho(1-\varepsilon)c_l$, т.е.

$$Y_\varepsilon = P + iQ = \rho(1-\varepsilon)c_l Y(0),$$

где под $Y(0)$ следует понимать либо (3.22), либо (3.23) – в зависимости от предположения о характере колебаний торцевой поверхности образца, граничащей с водой. Тогда получим:

для “скользящей” пластинки:

$$P + iQ \approx n^*; \quad (3.24)$$

для пластинки, приклеенной к торцу трубки:

$$P + iQ = \frac{n^*}{1 - \frac{ik^*}{\kappa^*}} \quad (3.25)$$

На рис. 3 приведены средние по измерениям на 1–3 образцах значения P (черные точки) и Q (белые точки), аппроксимированные частотными зависимостями $P(f)$ и $Q(f)$ в виде полиномов пятой степени (сплошная линия). Подставив эти зависимости в левые части выражений (3.24) или (3.25), получим уравнения для нахождения комплексного модуля сдвига (3.7) резины образцов. В первом случае это уравнение квадратное, и значения $\mu^*(f)$ относительно $P(f)$ и $Q(f)$ находятся точно. При этом на высоких частотах величина коэффициента сдвиговых потерь возрастает до $\eta(f) > 6$, что нереально и говорит о непригодности представления о “скользящей” пластинке на входном торце образца. Во втором случае уравнение для $\mu^*(f)$ переходит в квадратное, лишь если пренебречь в знаменателе правой части (3.25) малым слагаемым $(k^*/\kappa^*)^2$, так что решение не будет точным. Его можно улучшить, умножив на близкий к единице комплексный линейный полином и варьируя коэффициенты последнего. Компоненты уточненного модуля сдвига $\mu^*(f)$ показаны на рис. 4. Подстановка их в правую часть уравнения (3.25) дает представленные на рис. 3 пунктирные кривые, близкие к

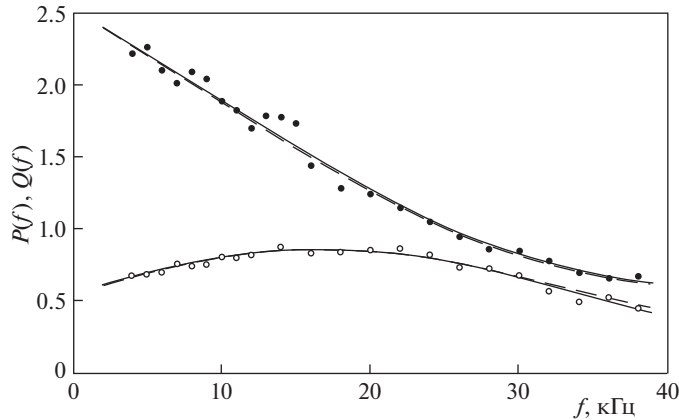


Рис. 3. Частотные зависимости компонентов приведенной входной проводимости $Y_{\epsilon} = P + iQ$ образцов работы [17]: ● – активная проводимость P ; ○ – реактивная проводимость Q ; — — аппроксимирующие кривые $P(f)$ и $Q(f)$; ---- — кривые проверки решения для $\mu^*(f)$.

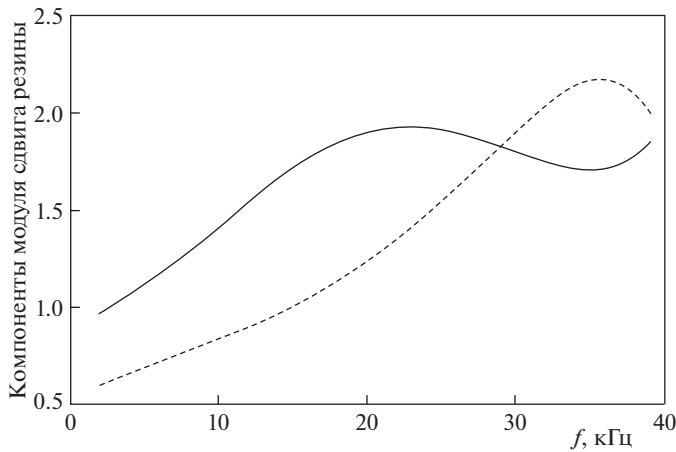


Рис. 4. Частотные зависимости расчетных компонентов комплексного модуля сдвига $\mu^*(f) = \mu(f)[1 - i\eta(f)]$ резины измеренных образцов: — — модуль сдвига $\mu(f) \times 10^{-7}$ Па, ---- — коэффициент сдвиговых потерь $\eta(f)$.

исходным $P(f)$ и $Q(f)$. Результат рис. 4 вполне реалистичен до частот $f \approx 20$ кГц и несколько сомнителен на высоких частотах, где данных о $\mu(f)$ и $\eta(f)$ в [17] нет.

Заключение. Показано, что для распространяющейся в вязкоупругой среде с цилиндрическими каналами звуковой волны дисперсионное уравнение имеет такую же форму, как для других известных резонансных микронеоднородных сред. Это тем более справедливо, чем меньше коэффициент перфорации ϵ (объемная концентрация каналов). Поскольку теория учитывает неоднородные волны вблизи торцевых поверхностей трубки, она применима к перфорированным резиновым слоям произвольной малой толщины с двумя типами граничных условий на поверхностях слоев [18].

Развитую здесь теорию можно привлечь к измерениям упругих параметров вязкоупругих материалов с помощью “Импульсной трубы” или вибростола. При определении модуля сдвига резины образцов работы [17] более подходящим (как и в [18]) оказалось допущение о сцеплении входного торца трубки с тонкой жесткой пластинкой.

СПИСОК ЛИТЕРАТУРЫ

1. *Тютюкин В.В.* Распространение упругих волн в среде с цилиндрическими каналами // Акуст. ж. 1956. Т. 2. № 3. С. 291–301.
2. *Вовк А.Е.* Некоторые вопросы распространения упругих волн в твердых волноводах. Дисс. на соискание уч. ст. к.ф.-м.н. Москва, 1967. 128 с.
3. *Шейба Л.С., Шляпочников С.А.* Об одном классе собственных колебаний упругого цилиндра // Акуст. ж. 1974. Т. 20. № 2. С. 331–333.
4. *Ляв А.* Математическая теория упругости. М.; Л.: ОНТИ НКТП СССР, 1935. 473 с.
5. *Рэлей.* Теория звука. Том 1. М.: Гостехиздат, 1955. 503 с.
6. *Ландау Л.Д., Лифшиц Е.М.* Теория упругости. М.: Наука, 1987. 247 с.
7. *Казакон Л.И.* Акустические свойства упругой среды с цилиндрическими каналами // Деп. в ВИНТИ 12.09.84 № 6203–84. Деп. 26 с.
8. *Арфкен Г.* Математические методы в физике. М.: Атомиздат, 1970. 712 с.
9. *Фейнман Р., Лейтон Р., Сендс М.* Фейнмановские лекции по физике. Физика сплошных сред. М.: Мир, 1977. 288 с.
10. *Ландсберг Г.С.* Оптика. М.: Наука, 1976. 926 с.
11. *Ландау Л.Д., Лифшиц Е.М.* Электродинамика сплошных сред. М.: Наука, 1982. 620 с.
12. *Гинзбург В.Л.* Об общей связи между поглощением и дисперсией звуковых волн // Акуст. ж. 1955. Т. 1. № 1. С. 31–39.
13. *Вовк А.Е., Тютюкин В.В.* О “сверхвязких” продольных волнах в упругой среде // Акуст. ж. 1961. Т. 7. № 2. С. 256–257.
14. *Скучик Е.* Основы акустики. Том II. М.: Иностран. лит., 1959. 565 с.
15. *Викторова Р.Н., Тютюкин В.В.* Физические основы создания звукопоглощающих материалов с использованием среды с комплексной плотностью // Акуст. ж. 1998. Т. 44. № 3. С. 331–336.
16. *Казакон Л.И.* Ячеечные модели вязкоупругой среды с твердыми сферическими включениями // Акуст. ж. 2022. Т. 68. № 2. С. 173–181.
17. *Вовк А.Е., Пастернак Р.Н., Тютюкин В.В.* Экспериментальное исследование волновых свойств среды с цилиндрическими каналами // Акуст. ж. 1958. Т. 4. № 1. С. 24–32.
18. *Казакон Л.И.* Акустические характеристики нагруженных перфорированных слоев // Деп. в ВИНТИ 19.08.87. № 6092. В87. 17 с.

Approximate Theory of Sound Propagation in a Limited Viscoelastic Medium with Cylindrical Channels

L. I. Kazakov[#]

[#]*e-mail: lev-kazakov@rambler.ru*

The acoustic characteristics of a cylindrical viscoelastic tube of finite length with a radially fixed outer surface replacing a hexagonal unit cell a segment of a micro-inhomogeneous medium with cylindrical channels are calculated. The principle of least action and the hypothesis of flat sections are applied. A dispersion equation for longitudinal soundwaves in a tube is found that coincides with the approximations of the exact dispersion equation and has the form typical for micro-inhomogeneous resonant media. From a suitable approximation of the results of the known measurements of the reduced input conductivity of “semi-infinite” samples the frequency dependence of the complex shear modulus of the rubber used was found.

Keywords: the principle of least action, the hypothesis of flat sections, viscoelastic medium, cylindrical channels, end plates, dispersion equation, non propagation effect

REFERENCES

1. *Tyutkin V.V.* Propagation of elastic waves in a medium with cylindrical channels // *Acoust. J.*, 1956, vol. 2, no. 3, pp. 291–301.
2. *Vovk A.E.* Some questions of elastic wave propagation in solid waveguides. Ph.D. Thesis. Phys.&Math. Moscow, 1967. 128 p.
3. *Sheiba L.S., Shlyapochnikov S.A.* On one class of natural oscillations of an elastic cylinder // *Acoust. J.*, 1974, vol. 20, no. 2, pp. 331–333.
4. *Lyav A.* Mathematical Theory of Elasticity. Moscow; Leningrad: ONTI NKTP USSR, 1935. 473 p. (in Russian)
5. *Rayleigh.* Theory of Sound. Vol. 1. Moscow: Gostekhizdat, 1955. 503 p. (in Russian)
6. *Landau L.D., Lifshits E.M.* Theory of Elasticity. Moscow: Nauka, 1987. 247 p. (in Russian)
7. *Kazakov L.I.* Acoustic properties of an elastic medium with cylindrical channels // *Dep. in VINITI* 12.09.84, № 6203, 84 Dep. 26 p.
8. *Arfken G.* Mathematical Methods in Physics. Moscow: Atomizdat, 1970. 712 p. (in Russian)
9. *Feynman R., Leighton R., Sands M.* Feynman Lectures on Physics. Physics of Continuous Media. Moscow: Mir, 1977. 288 p. (in Russian)
10. *Landsberg G.S.* Optics. Moscow: Nauka, 1976. 926 p. (in Russian)
11. *Landau L.D., Lifshits E.M.* Electrodynamics of Continuous Media. Moscow: Nauka, 1982. 620 p. (in Russian)
12. *Ginzburg V.L.* On the general relationship between absorption and dispersion of sound waves // *Acoustic. J.*, 1955, vol. 1, no. 1, pp. 31–39.
13. *Vovk A.E., Tyutkin V.V.* On “ultra-viscous” longitudinal waves in an elastic medium // *Acoust. J.*, 1961, vol. 7, no. 2, pp. 256–257.
14. *Skushik E.* Fundamentals of Acoustics. Vol. II. Moscow: Inostr. Lit., 1959. 565 p. (in Russian)
15. *Viktorova R.N., Tyutkin V.V.* Physical foundations of sound-absorbing materials using a medium with a complex density // *Acoust. J.*, 1998, vol. 44, no. 3, pp. 331–336.
16. *Kazakov L.I.* Cellular models of viscoelastic medium with solid spherical inclusions // *Acoust. J.*, 2022, vol. 68, no. 2, pp. 173–181.
17. *Vovk A.E., Pasternak R.N., Tyutkin V.V.* Experimental research wave properties of a medium with cylindrical channels // *Acoustic. J.*, 1958, vol. 4, no. 1, pp. 24–32.
18. *Kazakov L.I.* Acoustic characteristics of loaded perforated layers // *Dep. in VINITI* 19.08.87, no. 6092, B87. 17 p.